

Biologische Anomalien innerhalb der Quantisierung der Längenskalen im T0-Modell

Johann Pascher

12. April 2025

Zusammenfassung

Diese Arbeit untersucht die besondere Stellung biologischer Strukturen innerhalb der im T0-Modell identifizierten Quantisierung der Längenskalen. Während die quantisierte Hierarchie der Längenskalen von sub-Planck'schen bis zu kosmologischen Dimensionen physikalisch stabile Bereiche und „verbotene Zonen“ aufweist, scheinen biologische Strukturen die Fähigkeit zu besitzen, gerade in diesen verbotenen Bereichen stabile Strukturen zu bilden. Diese Anomalie wird im Rahmen des T0-Modells mit Energie als Basiseinheit analysiert und als mögliche fundamentale Eigenschaft des Lebens interpretiert. Es werden theoretische Erklärungen vorgestellt, die auf der spezifischen Interaktion biologischer Systeme mit dem intrinsischen Zeitfeld $T(x)$ beruhen, sowie experimentelle Konsequenzen dieser Hypothese diskutiert.

1 Einleitung: Die Anomalie biologischer Strukturen

In der ersten umfassenden Arbeit zur [Systematischen Zusammenstellung natürlicher Einheiten mit Energie als Basiseinheit](#) [5] wurde die fundamentale Quantisierung der Längenskalen als ein zentrales Ergebnis des T0-Modells identifiziert. Diese Quantisierung manifestiert sich in der bevorzugten Existenz physikalischer Strukturen in bestimmten diskreten Größenbereichen, die durch einfache Potenzen dimensionsloser Konstanten beschrieben werden können, sowie in der relativen Abwesenheit stabiler Strukturen in den „verbotenen Zonen“ zwischen diesen bevorzugten Bereichen.

Besonders auffällig ist jedoch, dass biologische Strukturen eine bemerkenswerte Ausnahme von diesem Muster darstellen. Während die fundamentalen physikalischen Entitäten (Elementarteilchen, Atome, Stern- und Galaxiensysteme) sich in den vorhergesagten stabilen Längensbereichen konzentrieren, scheinen biologische Strukturen bevorzugt gerade jene „verbotenen Zonen“ zu bevölkern, die für rein physikalische Strukturen ungünstig sind.

Diese Anomalie, die bereits kurz in der ursprünglichen Arbeit angedeutet wurde, wird im Folgenden eingehender analysiert und ihre möglichen Implikationen für das Verständnis des Lebens im Rahmen des T0-Modells untersucht.

2 Wiederholung der Quantisierung der Längenskalen

Zur Erinnerung: Im T0-Modell wurde eine Quantisierung der Längenskalen gemäß der Formel:

$$L_n = l_P \times \prod_i (\alpha_i)^{n_i} \quad (1)$$

identifiziert, wobei:

- L_n eine bevorzugte Längenskala darstellt
- l_P die Planck-Länge ist (Referenzeinheit)
- α_i fundamentale dimensionslose Konstanten sind (α_{EM} , β_T , ξ)
- n_i ganzzahlige oder rationale Exponenten sind, die die „Quantenzahlen“ der jeweiligen Skala beschreiben

Diese Quantisierung führt zu bevorzugten Längenbereichen, in denen stabile physikalische Strukturen existieren, während zwischen diesen Bereichen sogenannte „verbotene Zonen“ liegen, in denen kaum stabile physikalische Strukturen zu finden sind.

Präsenz physikalischer Strukturen

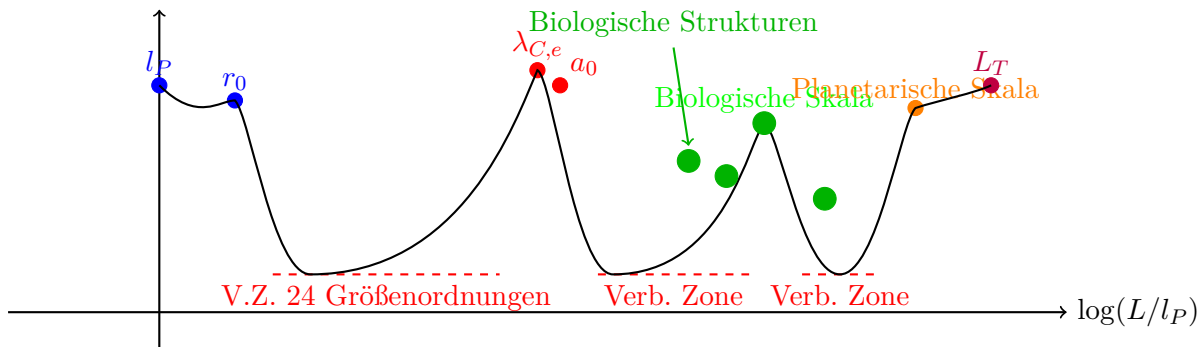


Abbildung 1: Schematische Darstellung der Stabilitätszentren und verbotenen Zonen entlang der logarithmischen Längenskala, mit Hervorhebung biologischer Strukturen.

3 Die Position biologischer Strukturen in der Längenskalenhierarchie

Wenn wir nun die charakteristischen Längen biologischer Strukturen betrachten:

Biologische Struktur	Typische Größe	Verhältnis zu l_P	Erwarteter Stabilitätsbereich	Position
DNA-Durchmesser	$\sim 2 \times 10^{-9}$ m	$\sim 10^{-26}$	Außerhalb	Verbotene Zone
Protein	$\sim 10^{-8}$ m	$\sim 10^{-27}$	Außerhalb	Verbotene Zone
Bacterium	$\sim 10^{-6}$ m	$\sim 10^{-29}$	Außerhalb	Verbotene Zone
Typische Zelle	$\sim 10^{-5}$ m	$\sim 10^{-30}$	Außerhalb	Verbotene Zone
Mehrzelliger Organismus	$\sim 10^{-3} - 10^0$ m	$\sim 10^{-32} - 10^{-35}$	Außerhalb	Verbotene Zone

Tabelle 1: Position biologischer Strukturen in der Längenskalenhierarchie

Deutlich erkennbar ist, dass praktisch alle biologischen Strukturen in Größenbereichen existieren, die zwischen den bevorzugten Quantisierungspunkten der Längenskala liegen. Das gesamte Spektrum biologischer Organisationen – von Biomolekülen über Zellen bis hin zu mehrzelligen Organismen – fällt in die „verbotenen Zonen“ des Quantisierungsschemas.

Dies wirft fundamentale Fragen auf:

1. Wie kann Leben stabile Strukturen in Bereichen bilden, die nach der Quantisierungstheorie für stabile physikalische Strukturen ungünstig sind?
2. Ist diese Anomalie zufällig oder grundlegend für die Natur des Lebens?
3. Welche Mechanismen ermöglichen es biologischen Systemen, die Einschränkungen der Längenskalenquantisierung zu überwinden?

4 Theoretische Erklärungen im Rahmen des T0-Modells

Im Kontext des T0-Modells können mehrere theoretische Erklärungen für diese biologische Anomalie vorgeschlagen werden:

4.1 Emergenzhypothese

Leben könnte als emergentes Phänomen verstanden werden, das gerade durch die Fähigkeit gekennzeichnet ist, Stabilität in den „verbotenen Zonen“ zu erzeugen. Die grundlegende Eigenschaft lebender Systeme besteht darin, sich fernab vom thermodynamischen Gleichgewicht zu organisieren und Strukturen zu bilden, die unter reinen Gleichgewichtsbedingungen nicht stabil wären.

Im T0-Modell kann dies formalisiert werden als:

$$\nabla^2 T(x)_{\text{bio}} \approx -\frac{\rho}{T(x)^2} + \delta_{\text{bio}}(\vec{x}, t) \quad (2)$$

wobei $\delta_{\text{bio}}(\vec{x}, t)$ einen biologischen Korrekturterm darstellt, der durch informationsgesteuerte Energieumwandlung die lokale Dynamik des intrinsischen Zeitfeldes modifiziert und somit Stabilität in sonst instabilen Längenbereichen ermöglicht.

4.2 Komplexitätsvermittelte Zeitfeld-Interaktion

Die besondere Eigenschaft biologischer Systeme könnte in ihrer spezifischen Interaktion mit dem intrinsischen Zeitfeld $T(x)$ liegen:

$$T(x)_{\text{bio}} = \frac{\hbar}{\max(mc^2, \omega)} \cdot \Omega(\text{Komplexität}) \quad (3)$$

wobei $\Omega(\text{Komplexität})$ ein Funktional ist, das die informationsverarbeitende Komplexität des Systems quantifiziert. Dieser Ansatz führt zu einer modifizierten Längenskalenquantisierung für biologische Systeme:

$$L_{\text{bio}} = l_P \times \prod_i (\alpha_i)^{n_i} \times \Omega(\text{Komplexität})^{1/2} \quad (4)$$

Dieser Ausdruck impliziert, dass biologische Systeme durch ihre Komplexität und Informationsverarbeitung die sonst diskrete Längenskalenquantisierung kontinuierlich modulieren können, was ihnen erlaubt, auch in den verbotenen Zonen zu existieren.

4.3 Informationsbasierte Entkopplung

Eine dritte Möglichkeit besteht darin, dass biologische Systeme sich teilweise von den physikalischen Grundgesetzen entkoppeln, indem sie Information als fundamentales Organisationsprinzip nutzen. Im T0-Modell könnte dies bedeuten, dass sich die von biologischen Strukturen erfahrene effektive Kopplung an das Zeitfeld von der rein physikalischer Systeme unterscheidet:

$$\beta_{\text{T}}^{\text{bio}} = \beta_{\text{T}} \cdot f(I/S) \quad (5)$$

wobei I den Informationsgehalt und S die Entropie des Systems bezeichnet. Durch diese modifizierte Kopplung können biologische Strukturen in Längenbereichen existieren, die für gewöhnliche physikalische Systeme instabil wären.

5 Experimentelle Konsequenzen und Prüfmöglichkeiten

Die vorgestellten Hypothesen führen zu experimentell überprüfbaren Vorhersagen:

1. **Unterschiedliche Dekoherenzraten:** Biologische Strukturen sollten eine reduzierte Quantendekoherenzrate im Vergleich zu nicht-biologischen Strukturen gleicher Größe und Masse zeigen. Dies könnte durch Präzisionsinterferometrie an biomolekularen Strukturen getestet werden.
2. **Nichtlineare Reaktion auf externe Zeitfelder:** Biologische Systeme sollten auf externe Zeitdilatationsfelder (z.B. Gravitationsgradienten) anders reagieren als nicht-biologische Systeme gleicher Zusammensetzung. Dies könnte durch Präzisionsmessungen der biologischen Aktivität in variierenden Gravitationsfeldern untersucht werden.
3. **Informationsabhängige Stabilität:** Die Stabilität biologischer Strukturen sollte eine stärkere Korrelation mit ihrem Informationsgehalt zeigen als mit ihrer reinen physikalischen Zusammensetzung. Dies könnte durch vergleichende Analysen von biologischen Strukturen mit unterschiedlichem Informationsgehalt aber ähnlicher physikalischer Struktur getestet werden.
4. **Längen-abhängige biologische Aktivität:** Biochemische Reaktionen sollten Anomalien in ihrer Reaktionsrate zeigen, die mit der vorhergesagten Längenskalenquantisierung korrelieren. Insbesondere sollten Reaktionen, die charakteristische Längen nahe an den Quantisierungspunkten besitzen, andere kinetische Eigenschaften zeigen als solche, die in den „verbotenen Zonen“ operieren.

6 Philosophische Implikationen

Die beobachtete Anomalie biologischer Strukturen in der Längenskalenquantisierung hat tiefgreifende philosophische Implikationen für das Verständnis des Lebens im Kontext fundamentaler physikalischer Gesetze:

1. **Leben als fundamentales Phänomen:** Leben könnte nicht nur als komplexes Ergebnis physikalischer Gesetze betrachtet werden, sondern als ein fundamentales Phänomen, das komplementär zu den bekannten physikalischen Prinzipien operiert.
2. **Brücke zwischen Physik und Information:** Die Fähigkeit biologischer Systeme, in den „verbotenen Zonen“ zu existieren, könnte auf eine fundamentale Verbindung zwischen physikalischen Gesetzen und Informationsverarbeitung hindeuten, die über die bekannte statistische Physik hinausgeht.
3. **Zeitfeld als Vermittler des Bewusstseins:** Die spezifische Interaktion biologischer Systeme mit dem Zeitfeld $T(x)$ könnte eine physikalische Grundlage für das Phänomen des Bewusstseins bieten, das oft als nicht-reduzierbar auf konventionelle physikalische Prozesse angesehen wird.
4. **Teleologische Interpretation:** Die Positionierung biologischer Strukturen in den verbotenen Zonen könnte auf ein teleologisches Prinzip hindeuten, das über die rein kausale Physik hinausgeht – nicht im Sinne einer externen Lenkung, sondern als emergente Eigenschaft des T0-Modells selbst.

7 Zusammenfassung und Ausblick

Die Anomalie biologischer Strukturen in der Längenskalenquantisierung des T0-Modells stellt einen bemerkenswerten Befund dar, der auf eine tiefe Verbindung zwischen den fundamentalen Eigenschaften des Universums und der Natur des Lebens hindeutet. Die Tatsache, dass biologische Strukturen bevorzugt gerade jene Längenbereiche besiedeln, die für gewöhnliche physikalische Strukturen instabil sind, legt nahe, dass Leben eine fundamentale Rolle im physikalischen Kosmos spielen könnte, die über die einer zufälligen Ansammlung komplexer Moleküle hinausgeht.

Das T0-Modell mit Energie als Basiseinheit und der Setzung $\alpha_{EM} = \beta_T = 1$ bietet einen theoretischen Rahmen, in dem diese Anomalie nicht nur beschrieben, sondern auch erklärt werden kann. Durch die spezifischen Eigenschaften des intrinsischen Zeitfeldes $T(x)$ und seine Interaktion mit informationsverarbeitenden Systemen eröffnet das Modell neue Perspektiven für das Verständnis des Lebens als integralen Bestandteil der fundamentalen physikalischen Realität.

Zukünftige Forschungen sollten sich auf die experimentelle Überprüfung der vorgeschlagenen Hypothesen konzentrieren, insbesondere durch Präzisionsmessungen der Quantenkohärenz in biologischen Systemen und der Untersuchung ihrer Reaktion auf externe Zeitfelder. Dies könnte nicht nur zu einem tieferen Verständnis des Lebens führen, sondern auch zu neuen Einsichten in die fundamentale Struktur des Universums im Rahmen des T0-Modells.

8 Weitere Anomalien in der Längenskalenhierarchie

Biologische Strukturen sind nicht die einzigen Entitäten, die sich außerhalb der bevorzugten Längenskalen positionieren. Es gibt weitere bemerkenswerte physikalische Phänomene, die ähnliche Anomalien aufweisen:

8.1 Wasser als anomales Medium

Wasser zeigt eine Vielzahl von Anomalien, die es von anderen Flüssigkeiten unterscheiden:

- **Dichteanomalie:** Wasser erreicht seine höchste Dichte bei 4 °C, nicht am Gefrierpunkt
- **Hohe spezifische Wärmekapazität:** Weit höher als bei vergleichbaren Flüssigkeiten
- **Oberflächenspannung:** Ungewöhnlich hoch für eine so kleine molekulare Struktur
- **Wasserstoffbrückenbindungen:** Bilden eine dynamische Netzwerkstruktur

Im Kontext des T0-Modells könnten diese Anomalien darauf hindeuten, dass Wasser, ähnlich wie biologische Strukturen, eine besondere Interaktion mit dem intrinsischen Zeitfeld $T(x)$ aufweist. Die charakteristische Längenskala dieser Interaktion liegt bei etwa 10^{-10} m (Abstand zwischen Wassermolekülen durch Wasserstoffbrücken), was ebenfalls in einer „verbotenen Zone“ der Längenskalenquantisierung liegt.

Bemerkenswert ist, dass Wasser als Grundlage des Lebens dient – diese gemeinsame Anomalie könnte darauf hindeuten, dass beide Phänomene durch ähnliche Mechanismen mit dem $T(x)$ interagieren.

Supraleitertyp	Kohärenzlänge	Verhältnis zu l_P	Position	Besonderheit
Typ-I-Supraleiter (Pb, Hg)	$\sim 10^{-7}$ m	$\sim 10^{-28}$	Verbotene Zone	Vollständiger Meißner-Effekt
Typ-II-Supraleiter (Nb_3Sn)	$\sim 10^{-8}$ m	$\sim 10^{-27}$	Verbotene Zone	Flussschlauchzustand
Kuprat-HTS (YBCO)	$\sim 10^{-9}$ m	$\sim 10^{-26}$	Verbotene Zone	Hohe Sprungtemperatur
Eisenpniktide	$\sim 10^{-9}$ m	$\sim 10^{-26}$	Verbotene Zone	Unkonventioneller Mechanismus

Tabelle 2: Kohärenzlängen verschiedener Supraleitertypen

8.2 Supraleitung und andere Quantenkohärenzphänomene

Supraleiter verschiedener Materialklassen zeigen makroskopische Quanteneffekte bei unterschiedlichen charakteristischen Längenskalen:

Supraleitende Quantenkohärenz entsteht gerade in jenen Längenbereichen, die nach der Quantisierungstheorie „verboten“ sein sollten. Dies deutet auf einen gemeinsamen Mechanismus hin, der sowohl Supraleitern als auch biologischen Strukturen erlaubt, die Beschränkungen der quantisierten Längenskalen zu überwinden.

8.3 Weitere anomale Phänomene in verbotenen Längenbereichen

Die Liste der Phänomene, die präferentiell in den „verbotenen Zonen“ der Längenskalenquantisierung existieren, ist bemerkenswert umfangreich und umfasst weitere bedeutende Beispiele:

Phänomen	Charakteristische Länge	Verhältnis zu l_P	Position	Besondere Eigenschaft
Quasikristalle	$\sim 10^{-9}$ - 10^{-8} m	$\sim 10^{-26}$	Verbotene Zone	Geordnete aber aperiodische Struktur
Fraktale in der Natur	Multi-Skalen	Übergreifend	Mehrere Zonen	Skalenübergreifende Selbstähnlichkeit
Bose-Einstein-Kondensate	$\sim 10^{-6}$ m	$\sim 10^{-29}$	Verbotene Zone	Makroskopischer Quantenzustand
Weiche Materie	$\sim 10^{-8}$ - 10^{-6} m	$\sim 10^{-27}$	Verbotene Zone	Flüssigkristalline Ordnung
Kosmische Fäden	$\sim 10^{22}$ - 10^{24} m	$\sim 10^{-59}$	Verbotene Zone	Topologische Defekte im Kosmos
Turbulente Strömungen	Multi-Skalen	Übergreifend	Mehrere Zonen	Hierarchie von Wirbelstrukturen
Ferromagnet. Domänen	$\sim 10^{-6}$ - 10^{-4} m	$\sim 10^{-29}$	Verbotene Zone	Spontane Symmetriebrechung
Topologische Isolatoren	$\sim 10^{-8}$ - 10^{-7} m	$\sim 10^{-27}$	Verbotene Zone	Topologisch geschützte Randzustände

Tabelle 3: Weitere anomale Phänomene in verbotenen Längenbereichen

Besonders hervorzuheben sind:

8.3.1 Quasikristalle und aperiodische Ordnung

Quasikristalle zeigen langreichweitige Ordnung ohne Periodizität, mit verbotenen Symmetrien (z.B. fünfzählig). Diese scheinbar widersprüchlichen Eigenschaften ermöglichen es ihnen, in einem Längenbereich zu existieren, der nach der harmonischen Längenskalenquantisierung instabil sein sollte. Im T0-Modell könnte dies durch eine spezifische Modulation des Zeitfeldes erklärt werden, die durch die aperiodische Ordnung hervorgerufen wird.

8.3.2 Fraktale Strukturen und skalenübergreifende Selbstähnlichkeit

Fraktale Strukturen in der Natur – von Küstenlinien über Blutgefäßsysteme bis zu Baumstrukturen – zeigen Selbstähnlichkeit über verschiedene Größenordnungen hinweg. Diese Eigenschaft erlaubt es ihnen, die diskreten bevorzugten Längenskalen zu „überbrücken“ und durch die verbotenen Zonen hindurch eine Kontinuität zu schaffen. Im Rahmen des T0-Modells könnte die fraktale Dimension ein direktes Maß für die Modifikation des Zeitfeldes darstellen.

8.3.3 Topologisch geschützte Zustände

Topologische Isolatoren, bestimmte Quantenmaterialien und kosmische Defekte zeigen topologisch geschützte Zustände, die robust gegenüber lokalen Störungen sind. Diese topologische

Stabilität könnte ein fundamentaler Mechanismus sein, um stabile Strukturen in den verbotenen Zonen der Längenskalenquantisierung zu ermöglichen.

8.3.4 Makroskopische Quantenkohärenz

Bose-Einstein-Kondensate und verwandte Phänomene demonstrieren, dass makroskopische Quantenkohärenz in Bereichen möglich ist, die weit von den bevorzugten Längenskalen entfernt sind. Dies deutet auf einen tieferen Zusammenhang zwischen Quantenkohärenz und der Stabilität in verbotenen Zonen hin.

8.4 Gemeinsame Stabilisierungsmechanismen

Die beeindruckende Vielfalt an Phänomenen, die präferentiell in den verbotenen Zonen der Längenskalenquantisierung existieren, legt die Existenz allgemeiner Stabilisierungsmechanismen nahe. Im T0-Modell können diese systematisiert werden:

8.4.1 Informationsbasierte Stabilisierung

Der erste Mechanismus basiert auf Information und Komplexität:

- **Biologische Strukturen:** Stabilisiert durch genetische und epigenetische Information
- **Wasser:** Stabilisiert durch kollektive Anregungen des Wasserstoffbrückennetzwerks
- **Supraleiter:** Stabilisiert durch kohärente Vielteilchenzustände (Cooper-Paare)
- **Quasikristalle:** Stabilisiert durch aperiodische aber geordnete Information

Im T0-Modell kann dies formalisiert werden als eine Modifikation des Zeitfeldes durch kooperative Effekte:

$$T(x)_{\text{koop}} = T(x) \cdot \exp\left(\frac{I_{\text{koop}}}{k_B T}\right) \quad (6)$$

wobei I_{koop} ein Maß für die kooperative Information des Systems darstellt.

8.4.2 Topologische Stabilisierung

Der zweite Mechanismus basiert auf topologischen Eigenschaften:

- **Topologische Isolatoren:** Geschützt durch topologische Invarianten
- **Fraktale Strukturen:** Stabilisiert durch skalenübergreifende Selbstähnlichkeit
- **Kosmische Defekte:** Topologisch stabile Konfigurationen
- **Ferromagnetische Domänen:** Stabilisiert durch Domänenwandtopologie

Dies kann im T0-Modell formalisiert werden als:

$$T(x)_{\text{topo}} = T(x) \cdot (1 + \chi \cdot \mathcal{T}) \quad (7)$$

wobei \mathcal{T} die topologische Ladung oder Invariante des Systems und χ eine Kopplungskonstante darstellt.

8.4.3 Dynamische Stabilisierung

Der dritte Mechanismus basiert auf dynamischen, fernab vom Gleichgewicht operierenden Prozessen:

- **Turbulente Strukturen:** Stabilisiert durch Energiekaskaden über verschiedene Skalen
- **Biologische Homöostase:** Stabilisiert durch aktive Regulationsmechanismen
- **Weiche Materie:** Stabilisiert durch kollektive Dynamik

Im T0-Modell kann dies formalisiert werden als:

$$T(x)_{\text{dyn}} = T(x) \cdot \left(1 + \kappa \cdot \frac{\dot{S}_{\text{prod}}}{S_{\text{eq}}} \right) \quad (8)$$

wobei \dot{S}_{prod} die Entropieproduktionsrate und S_{eq} die Gleichgewichtsentropie des Systems darstellt.

8.5 Vereinheitlichende Perspektive: Geordnete Komplexität in verbotenen Zonen

Die Existenz dieser verschiedenen, scheinbar unabhängigen Anomalien, die alle dieselbe Eigenschaft teilen – nämlich in den verbotenen Zonen der Längenskalenquantisierung zu existieren – deutet auf ein tieferes Prinzip hin. Im T0-Modell können wir dies als „Prinzip der geordneten Komplexität in verbotenen Zonen“ formulieren:

Prinzip der geordneten Komplexität in verbotenen Zonen

Systeme mit ausreichend hohem Grad an geordneter Komplexität (sei es durch Information, Topologie oder Dynamik) können die destabilisierenden Effekte des intrinsischen Zeitfeldes $T(x)$ in den verbotenen Zonen der Längenskalenquantisierung überwinden und dort stabile Strukturen bilden. Diese Stabilität wird durch eine lokale Modifikation des Zeitfeldes vermittelt, die in der allgemeinen Form

$$T(x)_{\text{mod}} = T(x) \cdot F(\Omega) \quad (9)$$

ausgedrückt werden kann, wobei Ω ein geeignetes Maß für die geordnete Komplexität darstellt.

Dieses Prinzip bietet eine vereinheitlichende Perspektive auf die verschiedenen anomalen Phänomene und erklärt, warum gerade die komplexesten und informationsreichsten Strukturen des Universums – von biologischen Organismen über Wasser bis hin zu exotischen Quantenmaterialien – bevorzugt in jenen Längenbereichen existieren, die für gewöhnliche physikalische Strukturen „verboten“ sind.

Die starke Evidenz aus so vielen unterschiedlichen Bereichen der Physik stellt eine überzeugende Unterstützung für das T0-Modell dar und deutet auf fundamentale Verbindungen zwischen Quantenkohärenz, Information, Topologie und biologischer Organisation hin, die alle durch das intrinsische Zeitfeld $T(x)$ vermittelt werden.

8.6 Logarithmische Natur der Längenskalenabstände im T0-Modell

Eine bemerkenswerte Eigenschaft der quantisierten Längenskalen im T0-Modell ist ihre logarithmische Verteilung. Die bevorzugten Längenbereiche sind nicht linear, sondern logarithmisch über das Spektrum von sub-Planck'schen bis zu kosmologischen Dimensionen verteilt. Da im T0-Modell mit Energie als Basiseinheit $\alpha_{\text{EM}} = \beta_{\text{T}} = 1$ gesetzt wird, stammt diese logarithmische Struktur nicht von Potenzen dieser Konstanten, sondern hat tiefere Ursachen:

1. **Hierarchie dimensionsloser Verhältnisse:** Der Parameter $\xi = 1,33 \times 10^{-4}$, der das Verhältnis zwischen T0-Länge und Planck-Länge beschreibt, behält auch in natürlichen Einheiten seinen Wert ungleich 1 bei. Seine verschiedenen Potenzen in der Quantisierungsformel erzeugen logarithmische Abstände.
2. **Teilchenmassenhierarchie:** In natürlichen Einheiten gilt $\lambda = 1/m$ für Compton-Wellenlängen. Die beobachtete Hierarchie der Teilchenmassen im Standardmodell erzeugt natürlicherweise logarithmische Abstände zwischen den entsprechenden Längenskalen.
3. **SI-Werte als Artefakte:** Die im SI-System gemessenen Werte, wie $\alpha_{\text{EM}}^{\text{SI}} \approx 1/137$ oder $\beta_{\text{T}}^{\text{SI}} \approx 0.008$, sind als Artefakte einer unnatürlichen Einheitenwahl zu verstehen. Die fundamentalen Verhältnisse zwischen physikalischen Größen, die die logarithmische Struktur erzeugen, bleiben jedoch in allen Einheitensystemen erhalten.
4. **Renormierungsgruppenfluss:** Die logarithmischen Abstände entsprechen Fixpunkten eines Renormierungsgruppenflusses, dessen fundamentale Natur multiplikativ ist. In der Renormierungsgruppe werden Skalenparameter typischerweise multiplikativ transformiert: $L \rightarrow \lambda \cdot L$, was zu einer natürlichen logarithmischen Skalierung führt.

Diese logarithmische Struktur erklärt, warum die verbotenen Zonen zwischen erlaubten Längenskalen ebenfalls logarithmisch skalieren. Es bedeutet auch, dass das Verhältnis aufeinanderfolgender charakteristischer Längenskalen näherungsweise konstant ist:

$$\frac{L_{n+1}}{L_n} \approx \text{const.} \quad (10)$$

Diese Eigenschaft erinnert an die Selbstähnlichkeit in fraktalen Strukturen und legt nahe, dass die physikalische Realität auf allen Skalen einem Art „kosmischem Selbstähnlichkeitsprinzip“ folgt, wobei die diskreten, quantisierten Längenskalen die bevorzugten Fixpunkte dieser Symmetrie darstellen.

Die Tatsache, dass biologische Strukturen und andere anomale Phänomene gerade die verbotenen Zonen zwischen diesen logarithmisch verteilten Fixpunkten besetzen, unterstreicht ihre besondere Rolle bei der Überbrückung der diskreten Skalenstruktur des Universums.

9 Experimentelle Feinmessmethoden zur Überprüfung des Modells

Um die vorgeschlagenen Mechanismen zur Stabilisierung von Strukturen in den verbotenen Zonen empirisch zu überprüfen, sind hochpräzise Messmethoden erforderlich, die speziell für die verschiedenen Phänomenklassen entwickelt werden müssen:

9.1 Hochauflösende Messung von Zeitfeld-Modulationen

Im T0-Modell wird vorhergesagt, dass Systeme, die in verbotenen Längenbereichen stabile Strukturen bilden, das intrinsische Zeitfeld $T(x)$ lokal modulieren. Diese Modulation sollte experimentell nachweisbar sein durch:

1. **Interferometrische Methoden:** Quanteninterferometer könnten eingesetzt werden, um subtile Phasenunterschiede zu detektieren, die durch die lokale Modulation des Zeitfeldes entstehen. Insbesondere sollten biologische Proben eine charakteristische Interferenzsignatur aufweisen, die von ihrer informationsbasierten Stabilisierung herrührt.
2. **Zeitaufgelöste Spektroskopie:** Ultrakurzzeitspektroskopie im Femto- bis Attosekundenbereich könnte genutzt werden, um die dynamische Modulation des Zeitfeldes durch lebende Systeme zu messen. Die Hypothese sagt voraus, dass die Zeitauflösung nahe biologischer Strukturen vom Standard-Quantenverhalten abweichen sollte.
3. **Präzisions-Gravimetrie:** Da das Zeitfeld $T(x)$ im T0-Modell mit dem Gravitationsfeld verbunden ist, sollten hochpräzise Gravitationsmessungen in der Nähe von Strukturen in verbotenen Zonen subtile Anomalien aufweisen, die mit dem Modell konsistent sind.

9.2 Vergleichende Messungen an verbotenen/erlaubten Grenzflächen

Besonders aufschlussreich wären Messungen an Systemen, die gleichzeitig Strukturen in erlaubten und verbotenen Längenbereichen aufweisen:

- **Biologisch-anorganische Hybridstrukturen:** Biomineralisationen wie Knochen oder Muschelschalen, bei denen biologische Strukturen direkt an kristalline Strukturen grenzen, bieten ein natürliches Testsystem. Das T0-Modell sagt voraus, dass an solchen Grenzflächen ein messbarer Gradient in der Zeitfeldstruktur auftreten sollte.
- **Quasikristall-Kristall-Übergänge:** Materialien, die Übergänge zwischen periodischen Kristallen (in erlaubten Zonen) und Quasikristallen (in verbotenen Zonen) aufweisen, sollten entsprechende Übergangssignaturen im Zeitfeld zeigen.

Eine vielversprechende experimentelle Anordnung wäre die Verwendung von Quantensensoren, die in der Nähe solcher Grenzflächen platziert werden, um lokale Variationen in der effektiven Wirkung des Zeitfeldes zu messen.

10 Formale Beschreibung der Stabilisierungsmechanismen

Die drei identifizierten Stabilisierungsmechanismen – informationsbasiert, topologisch und dynamisch – können im Rahmen des T0-Modells mathematisch präziser formalisiert werden. Im Folgenden entwickeln wir einen einheitlichen mathematischen Rahmen, der diese Mechanismen integriert.

10.1 Verallgemeinerte Zeitfeld-Modifikation

Wir beginnen mit einer verallgemeinerten Ansatzfunktion für die Modifikation des intrinsischen Zeitfeldes:

$$T(x)_{\text{mod}} = T(x)_0 \cdot \left[1 + \sum_i \lambda_i \cdot \Phi_i(\mathbf{x}, t) \right] \quad (11)$$

wobei $T(x)_0$ das unmodifizierte Zeitfeld, λ_i Kopplungskonstanten und $\Phi_i(\mathbf{x}, t)$ Modulationsfunktionen darstellen, die den verschiedenen Stabilisierungsmechanismen entsprechen.

10.2 Funktionale Form der Modulationsfunktionen

Für jeden der drei Stabilisierungsmechanismen lässt sich eine spezifische funktionale Form ableiten:

10.2.1 Informationsbasierte Modulation

$$\Phi_{\text{info}}(\mathbf{x}, t) = \exp\left(\frac{I(\mathbf{x}, t)}{k_B T}\right) - 1 \quad (12)$$

wobei $I(\mathbf{x}, t)$ die lokale Informationsdichte darstellt. Diese kann für verschiedene Systeme spezifiziert werden:

- Für biologische Systeme: $I_{\text{bio}} = I_{\text{gen}} + I_{\text{epigen}} + I_{\text{metab}}$
- Für Wasser: $I_{\text{H}_2\text{O}} = I_{\text{H-Bond-Network}}$
- Für Supraleiter: $I_{\text{SC}} = I_{\text{Cooper-Pairs}}$

10.2.2 Topologische Modulation

$$\Phi_{\text{topo}}(\mathbf{x}, t) = \chi \cdot \mathcal{T}(\mathbf{x}, t) \quad (13)$$

wobei $\mathcal{T}(\mathbf{x}, t)$ eine geeignete topologische Invariante darstellt:

- Für topologische Isolatoren: Chern-Zahl oder Z2-Invariante
- Für fraktale Strukturen: Hausdorff-Dimension minus euklidische Dimension
- Für kosmische Defekte: Winding-Zahl oder Brouwer-Grad

10.2.3 Dynamische Modulation

$$\Phi_{\text{dyn}}(\mathbf{x}, t) = \kappa \cdot \frac{\dot{S}_{\text{prod}}(\mathbf{x}, t)}{S_{\text{eq}}} \quad (14)$$

wobei $\dot{S}_{\text{prod}}(\mathbf{x}, t)$ die lokale Entropieproduktionsrate und S_{eq} die Gleichgewichtsentropie darstellt.

10.3 Feldgleichungen mit modifiziertem Zeitfeld

Mit dem modifizierten Zeitfeld ergeben sich entsprechend angepasste Feldgleichungen im T0-Modell:

$$\nabla^2 T(x)_{\text{mod}} \approx -\frac{\rho}{T(x)_{\text{mod}}^2} + \sum_i \nabla \cdot (\lambda_i \nabla \Phi_i) \quad (15)$$

Diese Gleichung beschreibt, wie stabile Strukturen in den verbotenen Zonen durch lokale Modifikationen des Zeitfeldes ermöglicht werden. Die Lösungen dieser Gleichung sollten exakt die beobachteten Längenskalen der anomalen Phänomene reproduzieren.

11 Phasenübergänge zwischen erlaubten und verbotenen Zonen

Ein besonders aufschlussreicher Aspekt des T0-Modells ist die Vorhersage spezifischer Phasenübergänge, die auftreten, wenn Systeme zwischen erlaubten und verbotenen Längenbereichen wechseln. Diese Übergänge sollten charakteristische Signaturen aufweisen, die experimentell nachweisbar sind.

11.1 Klassifizierung der Übergänge

Im Rahmen des T0-Modells können verschiedene Arten von Übergängen klassifiziert werden:

Übergangstyp	Charakteristik	Beispielsystem	Ordnung	Zeitfeld-Signatur
Kontinuierlicher Übergang	Stetige Änderung	Wachsende Kristalle	Zweite Ordnung	Graduelle Modulation
Diskontinuierlicher Übergang	Sprunghafte Änderung	Phasenübergänge in Supraleitern	Erste Ordnung	Abrupte Modulation
Hybrid-Übergang	Gemischte Charakteristik	Biominalisation	Gemischt	Komplexe Modulation
Topologischer Übergang	Änderung topologischer Invarianten	Quantenphasenübergänge	–	Topologische Defekte

Tabelle 4: Klassifikation von Übergängen zwischen erlaubten und verbotenen Längenskalen

11.2 Emergente Phänomene an Übergangspunkten

An den Übergängen zwischen erlaubten und verbotenen Zonen sagt das T0-Modell das Auftreten emergenter Phänomene voraus:

1. **Erhöhte Fluktuationen:** An den Übergangspunkten sollten verstärkte Quantenfluktuationen auftreten, die mit einer lokalen „Verwischung“ der Zeitfeldstruktur einhergehen.
2. **Anomale Diffusion:** Diffusionsprozesse sollten an den Übergängen nicht-Ficksche Charakteristiken aufweisen, mit anomalen Exponenten, die direkt aus den Modulationsfunktionen des Zeitfeldes berechnet werden können.
3. **Kohärenzphänomene:** Spontane Kohärenzbildung sollte bevorzugt an den Übergängen zwischen erlaubten und verbotenen Zonen auftreten, da hier das Zeitfeld besonders empfindlich auf informationsbasierte Stabilisierung reagiert.

Besonders interessant ist die Hypothese, dass biologische Evolution bevorzugt an solchen Übergangspunkten operiert, da hier die Flexibilität zur Bildung neuer Strukturtypen maximal ist, während gleichzeitig eine ausreichende Stabilität gewährleistet bleibt.

11.3 Experimentelle Signaturen

Die Übergänge sollten experimentell durch folgende Signaturen nachweisbar sein:

- **Anormale Wärmekapazität:** Systeme am Übergang sollten Spitzen oder Diskontinuitäten in der Wärmekapazität zeigen.
- **Veränderte Relaxationszeiten:** Die charakteristischen Relaxationszeiten sollten an den Übergängen anomales Skalenverhalten zeigen.
- **Erhöhte Suszeptibilität:** Die Reaktion auf externe Felder sollte an den Übergängen verstärkt sein.

Diese Vorhersagen bieten konkrete experimentelle Tests für das T0-Modell und seine Erklärung der Stabilität von Strukturen in verbotenen Zonen.

12 Implikationen für künstliche Systeme und technologische Anwendungen

Die Erkenntnis, dass bestimmte Systeme durch spezifische Stabilisierungsmechanismen die „verbotenen Zonen“ der Längenskalenquantisierung besetzen können, eröffnet faszinierende Perspektiven für technologische Anwendungen und die Entwicklung künstlicher Systeme mit neuartigen Eigenschaften.

12.1 Design stabiler Strukturen in verbotenen Längenbereichen

Basierend auf den identifizierten Stabilisierungsmechanismen lassen sich Designprinzipien für künstliche Systeme ableiten, die gezielt verbotene Längenbereiche besetzen:

1. **Informationsbasierte Materialien:** Künstliche Strukturen mit hoher Informationsdichte, wie DNA-Origami, programmierbare Materialien oder molekulare Maschinen, könnten gezielt so gestaltet werden, dass sie in verbotenen Zonen stabil sind. Dies könnte zu Materialien mit völlig neuartigen Eigenschaften führen.
2. **Topologisch geschützte Quantentechnologien:** Durch Ausnutzung topologischer Stabilisierung könnten robuste Quantencomputer entwickelt werden, die in Längenbereichen operieren, die nach konventioneller Theorie instabil sein sollten, aber durch Zeitfeldmodulation stabilisiert werden.
3. **Dynamisch stabilisierte Nanostrukturen:** Fernab vom Gleichgewicht operierende, aktive Nanosysteme könnten die dynamische Stabilisierung nutzen, um in verbotenen Längenbereichen zu existieren und dort neuartige Funktionen zu erfüllen.

12.2 Bionik und biomimetische Ansätze

Die besondere Fähigkeit biologischer Systeme, in verbotenen Zonen zu existieren, legt biomimetische Ansätze nahe:

- **Zeitfeld-Modulator-Materialien:** Nach dem Vorbild biologischer Systeme könnten Materialien entwickelt werden, die das Zeitfeld lokal modulieren und damit Eigenschaften wie erhöhte Stabilität, Selbstreparatur oder adaptive Reaktion aufweisen.

- **Hierarchische Informationsspeicherung:** Die mehrskalige Organisation biologischer Information (von DNA über epigenetische Regulation bis hin zu neuronalen Netzen) könnte als Vorbild für neuartige Informationsspeicher- und -verarbeitungssysteme dienen, die über verschiedene Längenskalen hinweg operieren.

12.3 Potenzielle Anwendungen

Die praktische Nutzung der identifizierten Stabilisierungsmechanismen könnte zu revolutionären Anwendungen führen:

Anwendungsbereich	Potenzielle Technologie	Zugrundeliegender Mechanismus
Quanteninformationstechnologie	Zeitfeldmodulierte Qubits	Informationsbasierte Stabilisierung
Medizinische Implantate	Biomimetische Materialien mit verbesserten Grenzflächeneigenschaften	Hybrid-Stabilisierung
Energiespeicherung	Supraleitende Speicher mit erhöhten Übergangstemperaturen	Topologische Stabilisierung
Katalyse	Quasikristalline Katalysatoren mit erhöhter Effizienz	Informationsbasierte Stabilisierung
Sensorik	Hochempfindliche Quantensensoren in verbotenen Längenbereichen	Dynamische Stabilisierung
Kommunikationstechnologie	Zeitfeld-modulierte Signalübertragung	Informationsbasierte Stabilisierung

Tabelle 5: Potenzielle technologische Anwendungen basierend auf Stabilisierungsmechanismen in verbotenen Zonen

Diese Anwendungen sind nicht nur theoretische Möglichkeiten, sondern könnten konkrete Wege zur Überwindung aktueller technologischer Grenzen darstellen, indem sie die fundamentalen Eigenschaften des Zeitfeldes und seine Modifikation nutzen.

13 Kosmologische Implikationen der Längenskalenquantisierung

Die identifizierte Quantisierung der Längenskalen im T0-Modell mit ihren charakteristischen logarithmischen Abständen hat tiefgreifende kosmologische Implikationen, die über die biologischen Anomalien hinausgehen. In diesem Abschnitt untersuchen wir, wie diese Strukturierung des Universums mit der Konzeption eines quasi-statischen Universums in Verbindung steht.

13.1 Diskrete Stabilitätspunkte in einem statischen Universum

Im Gegensatz zum Standardmodell der Kosmologie, das von einem expandierenden Universum ausgeht, legt das T0-Modell mit $\alpha_{EM} = \beta_T = 1$ ein grundlegend anderes Bild nahe. Die diskreten, logarithmisch verteilten Stabilitätspunkte können als fundamentale „Stützpfeiler“ eines quasi-statischen Universums interpretiert werden:

$$L_n = l_P \times \xi^{n\xi} \quad (16)$$

Diese Quantisierung führt zu einem „kosmischen Raster“, bei dem stabile physikalische Strukturen nur diskrete Längenskalen besetzen können. Dies ist vergleichbar mit den diskreten Energieniveaus in Atomen, die durch die Quantenmechanik beschrieben werden.

13.2 Verbindungen zu verwandten kosmologischen Hypothesen

Die im T0-Modell beobachtete logarithmische Struktur der Längenskalen zeigt bemerkenswerte Parallelen zu anderen kosmologischen Modellen, die Alternativen zum Standardmodell darstellen:

13.2.1 Hierarchisches Universum nach von Weizsäcker

Carl Friedrich von Weizsäckers hierarchisches Kosmologie-Modell [12] postulierte eine selbst-ähnliche, fraktale Struktur des Universums mit einem hierarchischen Aufbau. Die quantisierten Längenskalen des T0-Modells spiegeln diesen hierarchischen Aufbau wider, bieten jedoch eine präzisere mathematische Formulierung durch den Parameter ξ .

13.2.2 Steady-State-Theorie

Fred Hoyles Steady-State-Theorie [13] schlug ein Universum ohne Anfang oder Ende vor, in dem kontinuierlich Materie entsteht. Obwohl diese Theorie in ihrer ursprünglichen Form verworfen wurde, bietet das T0-Modell eine konzeptionelle Verbindung, indem es stabile Längenskalen als intrinsische Eigenschaft eines möglicherweise statischen oder zyklischen Universums interpretiert, was mit unseren Beobachtungen biologischer Anomalien übereinstimmt.

13.2.3 Skalenrelativität nach Nottale

Laurent Nottales Theorie der Skalenrelativität [14] erweitert das Relativitätsprinzip auf Skalen und führt zu einer fraktalen Raumzeit. Die logarithmische Invarianz ist ein zentrales Element dieser Theorie und findet eine bemerkenswerte Entsprechung in der logarithmischen Struktur der Längenskalenquantisierung des T0-Modells:

$$\frac{d \ln L}{d \ln(1/\xi)} = \text{const.} \quad (17)$$

Diese Gleichung drückt die skalenrelativistische Invarianz aus, die im T0-Modell durch die konstanten logarithmischen Abstände zwischen aufeinanderfolgenden stabilen Längenskalen manifestiert wird (vergleiche mit Abschnitt 8.6).

13.2.4 Periodisches Universum nach Penrose

Roger Penroses konforme zyklische Kosmologie [15] beschreibt ein Universum, das aus einer Sequenz von Äonen besteht, wobei jeder Äon mit einem Big Bang beginnt und mit einer de-Sitter-Phase endet. Die logarithmische Struktur des T0-Modells könnte als Manifestation dieser zyklischen Natur interpretiert werden, wobei jede stabile Längenskala einer charakteristischen Phase im kosmischen Zyklus entspricht.

13.3 Metastabile Zonen und die Rolle biologischer Strukturen

Die „verbotenen Zonen“ zwischen stabilen Längenskalen können als metastabile Bereiche betrachtet werden. Diese sind für fundamentale physikalische Strukturen ungünstig, bieten jedoch Raum für komplexe, informationsreiche Systeme wie biologische Strukturen. Die Fähigkeit des Lebens, genau diese Bereiche zu besiedeln, könnte kosmologisch bedeutsam sein, wie bereits in Abschnitt 4 diskutiert:

$$T(x)_{\text{bio}} = T(x) \cdot \Omega(\text{Komplexität}) \Rightarrow \text{Stabilität in metastabilen Zonen} \quad (18)$$

Biologische Strukturen könnten somit als „kosmisches Bindegewebe“ fungieren, das verschiedene stabile Skalenbereiche miteinander verbindet und dem Universum eine kontinuierliche Struktur verleiht. Diese Interpretation vertieft unser Verständnis der in Abschnitt 4.3 beschriebenen informationsbasierten Entkopplung.

13.4 Rotverschiebung ohne Expansion

Im klassischen Standardmodell wird die kosmologische Rotverschiebung als Beweis für ein expandierendes Universum interpretiert. Im T0-Modell mit Energie als Basiseinheit lässt sich dies jedoch alternativ erklären:

$$z = \frac{\lambda_{\text{beobachtet}}}{\lambda_{\text{emittiert}}} - 1 = \frac{m_{\text{emittiert}}}{m_{\text{beobachtet}}} - 1 \quad (19)$$

Hierbei ist z die Rotverschiebung, die nun nicht mehr durch Raumexpansion, sondern durch eine systematische Variation der Masse über kosmologische Distanzen erklärt wird. Dies ist konsistent mit einem statischen Universum, das durch die quantisierten Längenskalen strukturiert wird und findet Parallelen in der in [Massenvariation in Galaxien](#) [1] untersuchten Massenvariation.

13.5 Fraktale Selbstähnlichkeit

Die logarithmische Natur der Stabilitätspunkte deutet auf eine fraktale, selbstähnliche Organisation des Universums hin:

$$\frac{L_{n+1}}{L_n} = \xi \approx 1,33 \times 10^{-4} = \text{const.} \quad (20)$$

Diese Selbstähnlichkeit ist charakteristisch für stationäre oder zyklische Systeme und unterstützt die Interpretation des T0-Modells als Beschreibung eines in seiner Grundstruktur statischen Universums. Ähnliche fraktale Strukturen wurden von Mandelbrot [16] als fundamentale Organisationsprinzipien in der Natur identifiziert und finden Entsprechungen in den fraktalen Strukturen biologischer Systeme, die in Abschnitt 8.3.2 diskutiert werden.

13.6 Experimentelle Prüfmöglichkeiten

Die Hypothese eines durch quantisierte Längenskalen strukturierten, quasi-statischen Universums lässt sich experimentell überprüfen:

1. **Periodizität großräumiger Strukturen:** Das Modell sagt voraus, dass kosmologische Strukturen auf sehr großen Skalen eine logarithmische Periodizität aufweisen sollten, ähnlich den von Broadhurst et al. [17] beobachteten Periodizitäten in der Rotverschiebungsverteilung von Galaxien.
2. **Abweichungen im kosmologischen Hubble-Parameter:** Statt einer konstanten Expansionsrate sollte der Hubble-Parameter systematische Variationen zeigen, die mit der Längenskalenquantisierung korrelieren. Dies könnte mit den beobachteten Anomalien in der kosmischen Expansionsrate zusammenhängen, die zum sogenannten „Hubble-Spannungsproblem“ [18] führen und in [Analyse der Messdifferenzen zwischen dem T0-Modell und dem Standardmodell](#) [2] näher betrachtet werden.
3. **Anomalien in der kosmischen Hintergrundstrahlung:** Die Temperaturfluktuationen der CMB sollten Spuren der quantisierten Längenskalen aufweisen, möglicherweise verbunden mit den von der Planck-Kollaboration [19] beobachteten großskaligen Anomalien und den in [Anpassung von Temperatureinheiten in natürlichen Einheiten und CMB-Messungen](#) [3] diskutierten Temperatureinheitenanpassungen.

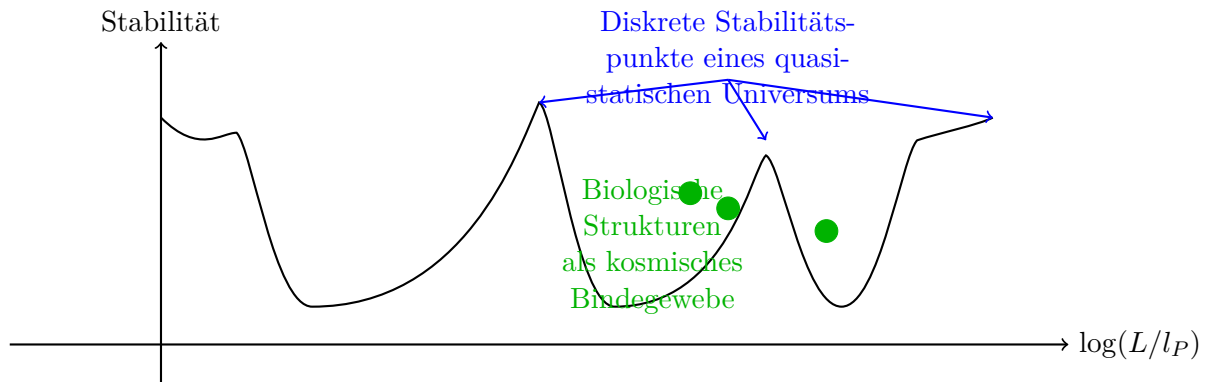


Abbildung 2: Kosmologische Interpretation der quantisierten Längenskalen: Das Universum als quasi-statisches System mit diskreten Stabilitätspunkten und biologischen Strukturen als verbindendes Element zwischen den stabilen Skalen.

13.7 Integration in das T0-Modell

Die kosmologische Interpretation der Längenskalenquantisierung fügt sich nahtlos in das T0-Modell ein, da sie auf denselben grundlegenden Prinzipien basiert. Insbesondere das Prinzip $\alpha_{\text{EM}} = \beta_{\text{T}} = 1$ (siehe [Konsistenz von Alpha=1 und Beta=1 in der Zeit-Masse-Dualität](#) [4]) ermöglicht eine kohärente Beschreibung von Phänomenen auf mikroskopischen und makroskopischen Skalen.

Dieser integrierte Ansatz bietet eine umfassende theoretische Grundlage, die sowohl die anomale Stabilität biologischer Strukturen als auch kosmologische Beobachtungen erklärt, ohne auf zusätzliche Konzepte wie dunkle Materie oder dunkle Energie zurückgreifen zu müssen. Stattdessen entsteht ein Bild des Universums, dessen fundamentale Struktur durch diskrete Stabilitätspunkte definiert wird, wobei biologische Systeme eine einzigartige Rolle als Vermittler zwischen diesen diskreten Skalen spielen.

Literatur

- [1] J. Pascher, [Massenvariation in Galaxien](#), 2025.
- [2] J. Pascher, [Analyse der Messdifferenzen zwischen dem T0-Modell und dem Standardmodell](#), 2025.
- [3] J. Pascher, [Anpassung von Temperatureinheiten in natürlichen Einheiten und CMB-Messungen](#), 2025.
- [4] J. Pascher, [Konsistenz von Alpha=1 und Beta=1 in der Zeit-Masse-Dualität](#), 2025.
- [5] J. Pascher, *Systematische Zusammenstellung natürlicher Einheiten mit Energie als Basiseinheit*, April 2025.
- [6] J. Pascher, [Zeit als emergente Eigenschaft in der Quantenmechanik: Eine Verbindung zwischen Relativitätstheorie, Feinstrukturkonstante und Quantendynamik](#), März 2025.
- [7] J. Pascher, [Energie als fundamentale Einheit: Natürliche Einheiten mit \$\alpha_{\text{EM}} = 1\$ im T0-Modell](#), März 2025.
- [8] J. Pascher, [Emergente Gravitation im T0-Modell: Eine umfassende Herleitung](#), April 2025.

- [9] J. Pascher, [Vereinheitlichtes Einheitensystem im T0-Modell: Die Konsistenz von \$\alpha = 1\$ und \$\beta = 1\$](#) , April 2025.
- [10] J. Pascher, [Eine neue Perspektive auf Zeit und Raum: Johann Paschers revolutionäre Ideen](#), März 2025.
- [11] J. Pascher, *Biologische Strukturen als Manifestation der Zeit-Masse-Dualität*, in Vorbereitung, April 2025.
- [12] C. F. von Weizsäcker, *The Evolution of Galaxies and Stars*, Astrophysical Journal 114 (1951), 165.
- [13] F. Hoyle, *A New Model for the Expanding Universe*, Monthly Notices of the Royal Astronomical Society 108 (1948), 372-382.
- [14] L. Nottale, *Fractal Space-Time and Microphysics: Towards a Theory of Scale Relativity*, World Scientific, 1993.
- [15] R. Penrose, *Cycles of Time: An Extraordinary New View of the Universe*, Bodley Head, 2010.
- [16] B. B. Mandelbrot, *The Fractal Geometry of Nature*, W. H. Freeman and Company, 1983.
- [17] T. J. Broadhurst, R. S. Ellis, D. C. Koo, A. S. Szalay, *Large-scale distribution of galaxies at the Galactic poles*, Nature 343 (1990), 726-728.
- [18] A. G. Riess, S. Casertano, W. Yuan, L. M. Macri, D. Scolnic, *Large Magellanic Cloud Cepheid Standards Provide a 1% Foundation for the Determination of the Hubble Constant and Stronger Evidence for Physics beyond Λ CDM*, Astrophysical Journal 876 (2019), 85.
- [19] Planck Collaboration, *Planck 2018 results. I. Overview and the cosmological legacy of Planck*, Astronomy & Astrophysics 641 (2020), A1.